



VI CONVEGNO NAZIONALE
CENTRO STUDI E RICERCHE - FONDAZIONE AMD
NAPOLI, 18-20 OTTOBRE 2012



CENTRO CONGRESSI
STAZIONE MARITTIMA



Alimentazione, flora batterica intestinale e rischio cardiovascolare



Rosalba Giacco

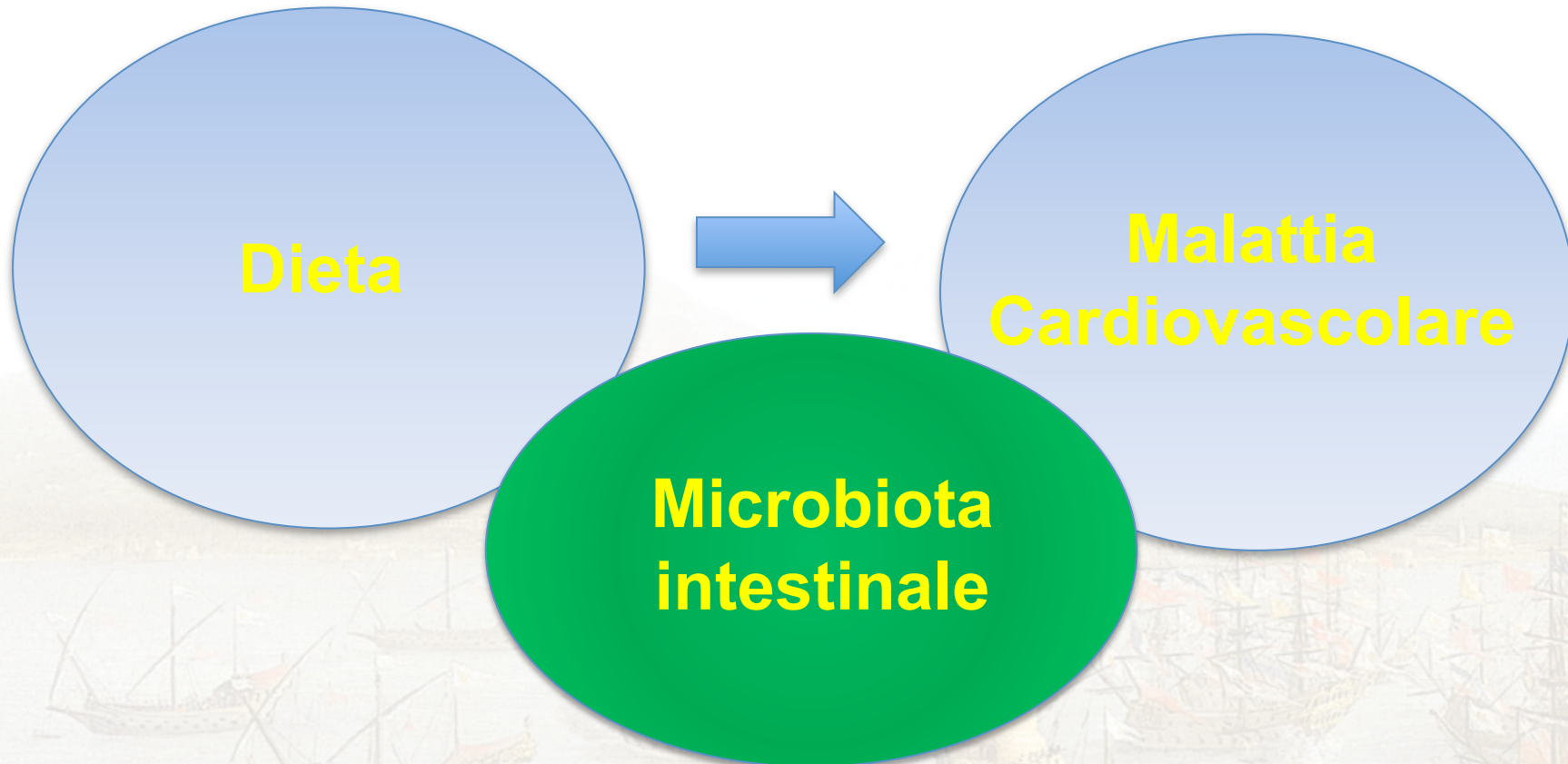
*Istituto di Scienze dell'Alimentazione, CNR -
Avellino*



VI CONVEGNO NAZIONALE
CENTRO STUDI E RICERCHE - FONDAZIONE AMD
NAPOLI, 18-20 OTTOBRE 2012

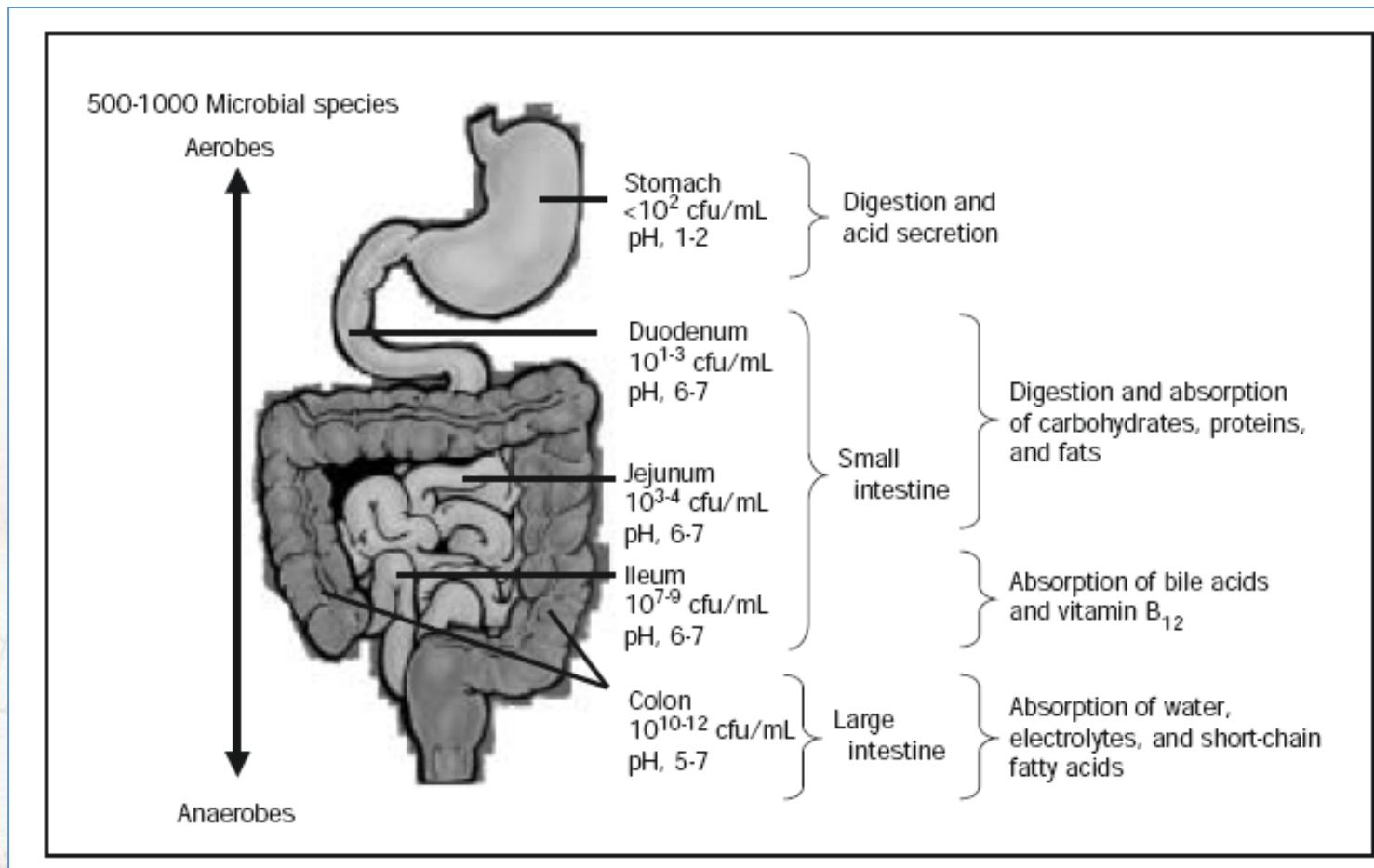


CENTRO CONGRESSI
STAZIONE MARITTIMA





Concentrazione di batteri a vari livelli dell'apparato gastrointestinale in un individuo adulto



DiBaise JK et al., Mayo Clin Proc 2008



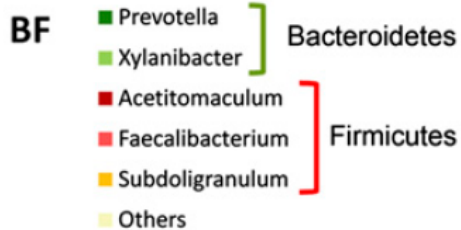
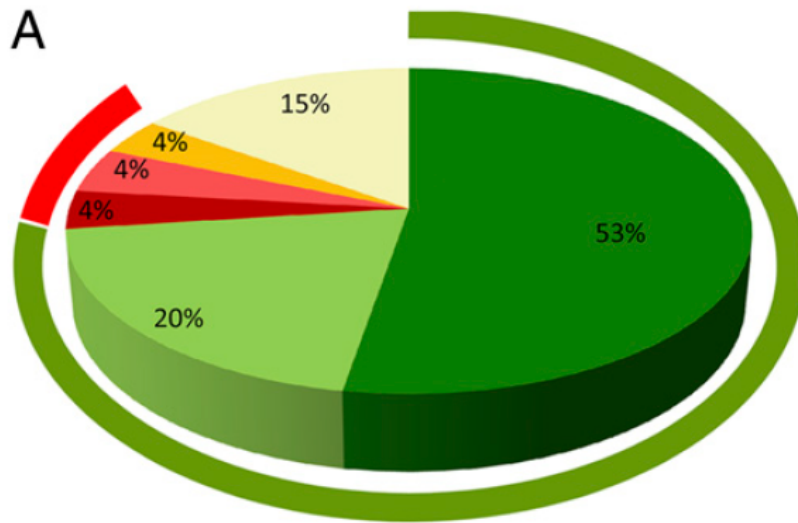
GRUPPI PREDOMINANTI DI BATTERI COLICI

Phyla	Archea
Firmicutes : Ruminococcus, Clostridium, Lactobacillus (alcuni ceppi probiotici), e produttori di butirrato (Eubacterium, Fecalibacterium e Roseburia).	Euryarchaeota: Methanobrevibacter (coinvolto nella metanogenesi intestinale)
Bacteroidetes: Bacteroides, Prevotella e Xylanibacter (degradano una varietà di glicani a struttura complessa).	
Actinobacteria: Collinsella e Bifidobatteri (contengono ceppi probiotici).	
Proteobacteria: Escherichia, Desulfovibrio.	
Verrucomicrobia: Akkermansia (degradano muco).	

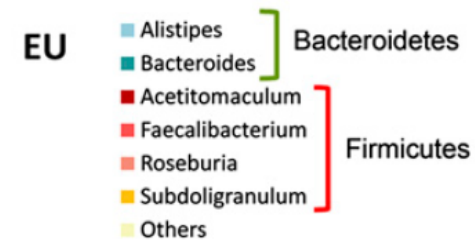
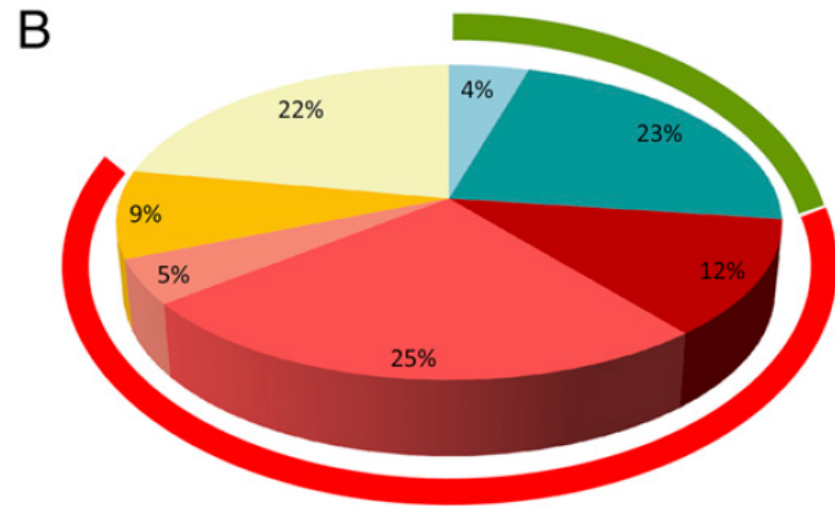


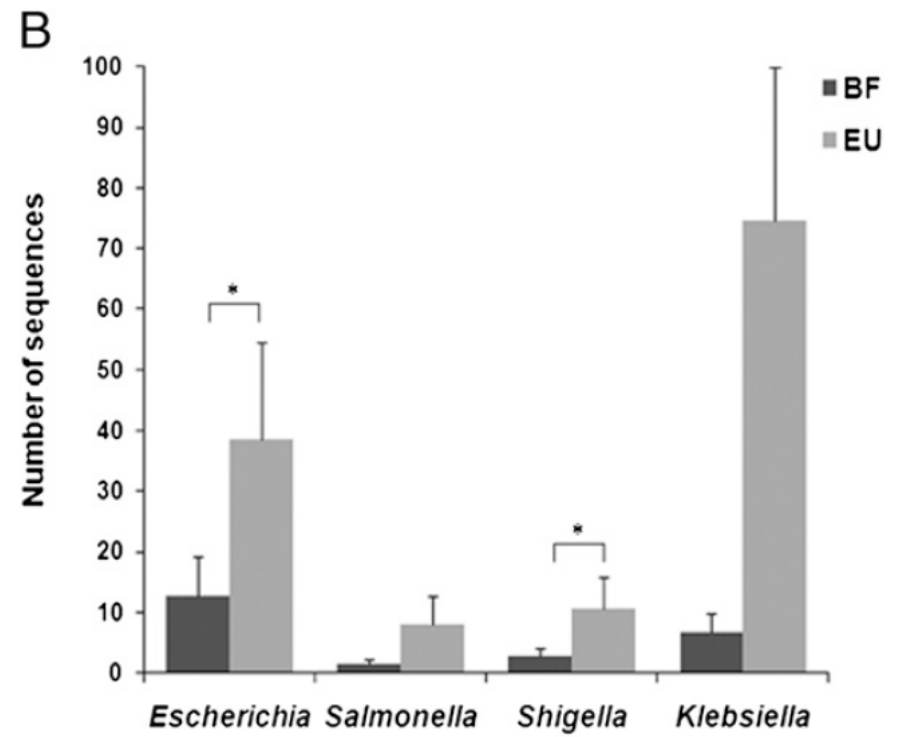
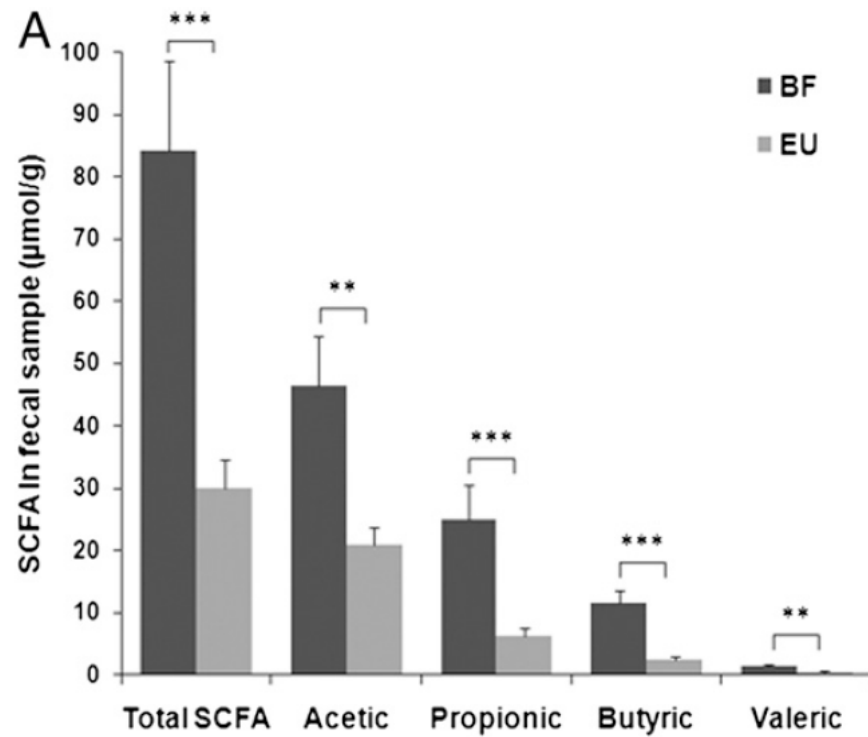
Impact of diet in shaping gut microbiota in European children and children of rural African village

Burkina Faso



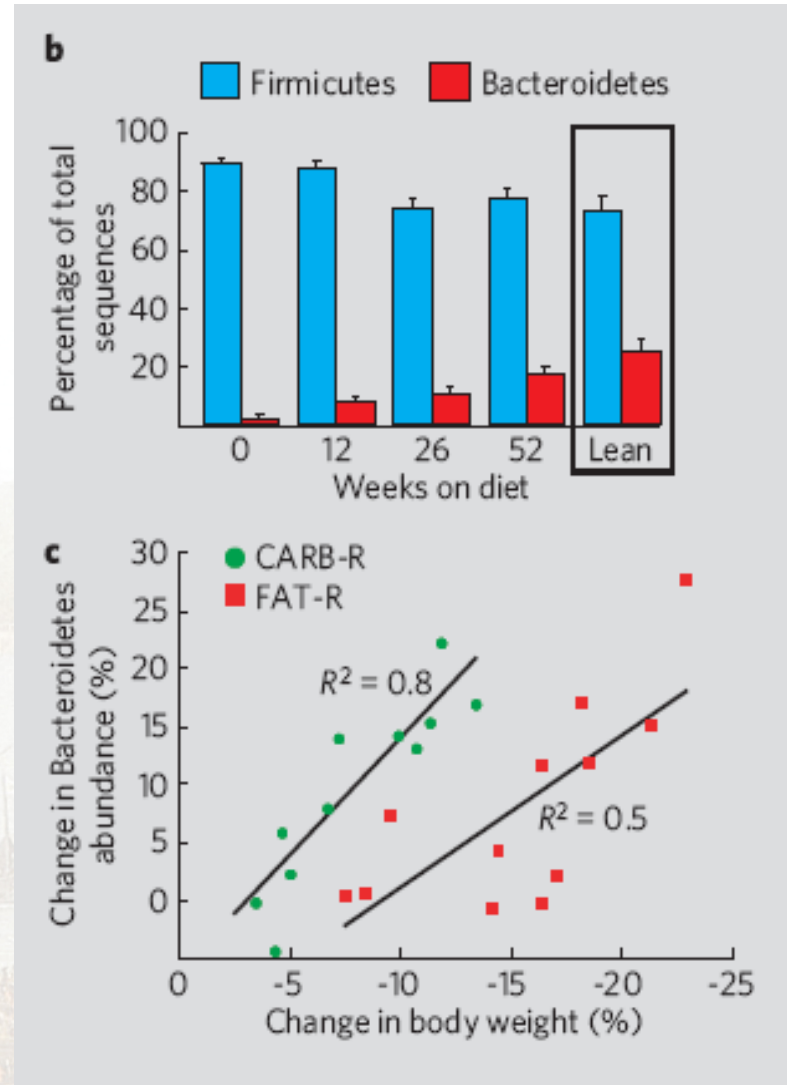
Florence







Percentuale di Firmicutes e Bacteroidetes in individui magri e in soggetti obesi prima e dopo il calo ponderale



b. Composizione della flora batterica intestinale in soggetti normopeso ed obesi prima e dopo 52 settimane di una dieta ipocalorica ristretta in carboidrati ● CARB-R o Ristretta in Grassi ■ FAT-R .

c. Correlazione tra l' incremento dei Bacteroidetes e la percentuale di decremento ponderale nelle due diete ipocaloriche.



VI CONVEGNO NAZIONALE
CENTRO STUDI E RICERCHE - FONDAZIONE AMD
NAPOLI, 18-20 OTTOBRE 2012



CENTRO CONGRESSI
STAZIONE MARITTIMA



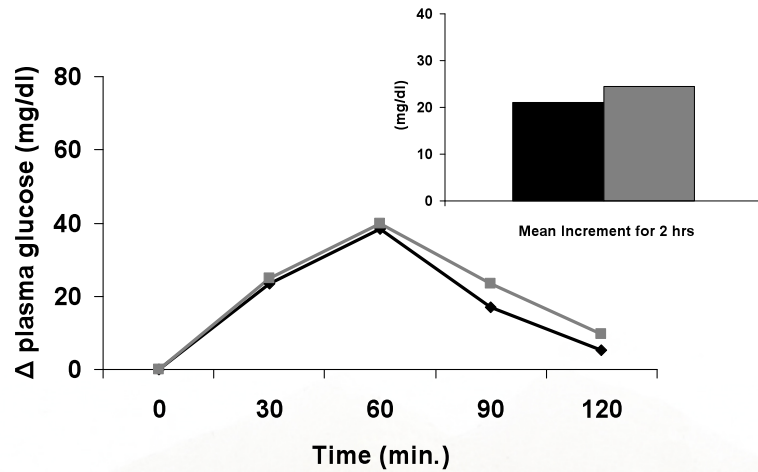
DIETA RICCA IN FIBRE E RISCHIO CARDIOVASCOLARE



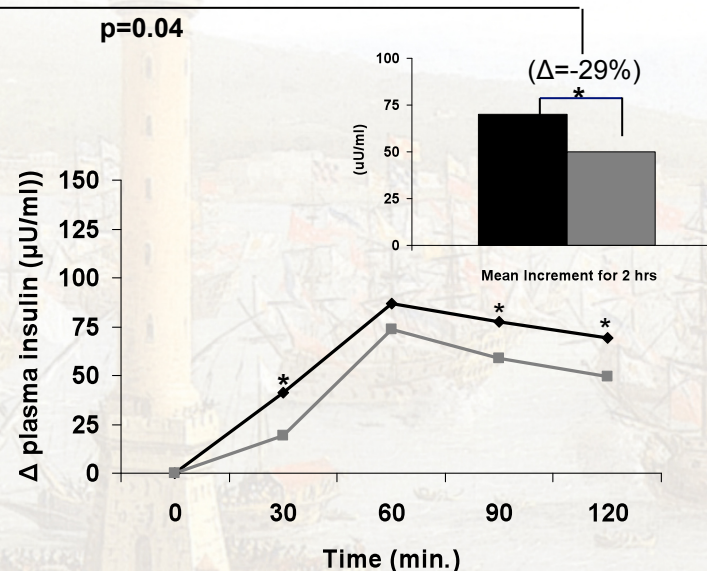
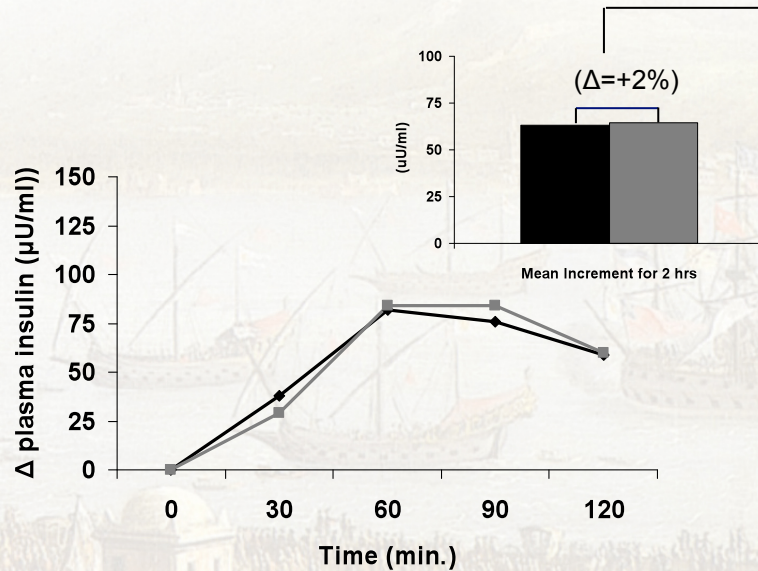
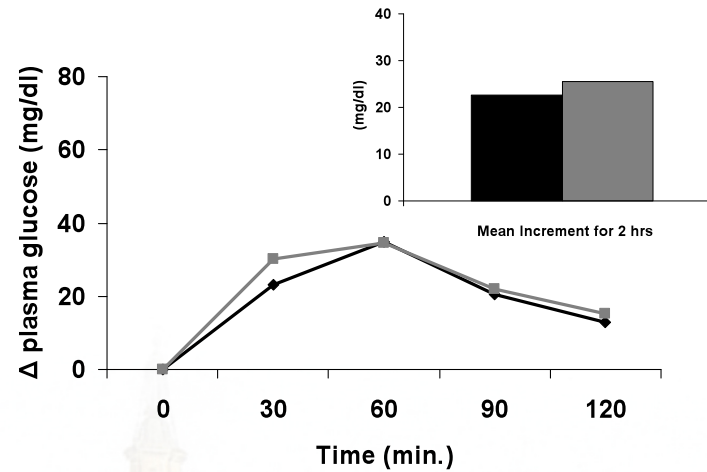


Postprandial plasma glucose and insulin concentrations in the two groups

Control Group



Whole Grain Group

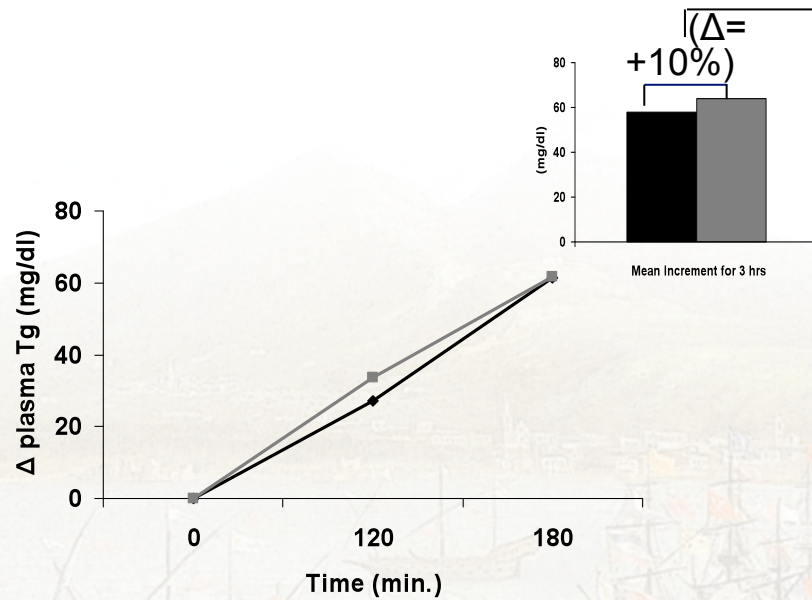


◆ baseline ■ 12 week

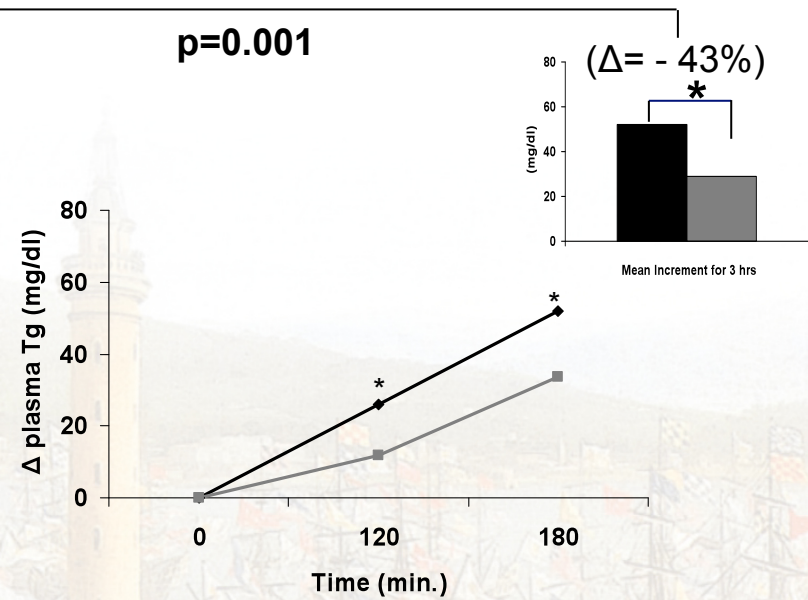


Postprandial plasma triglyceride concentrations in the two groups

Control Group



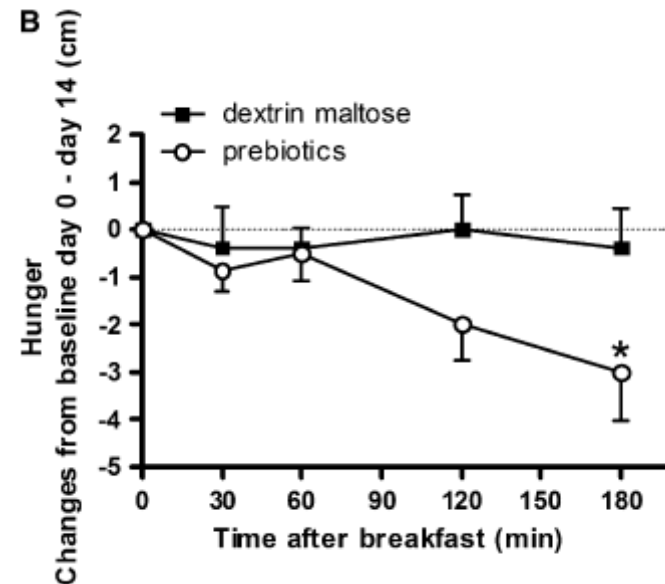
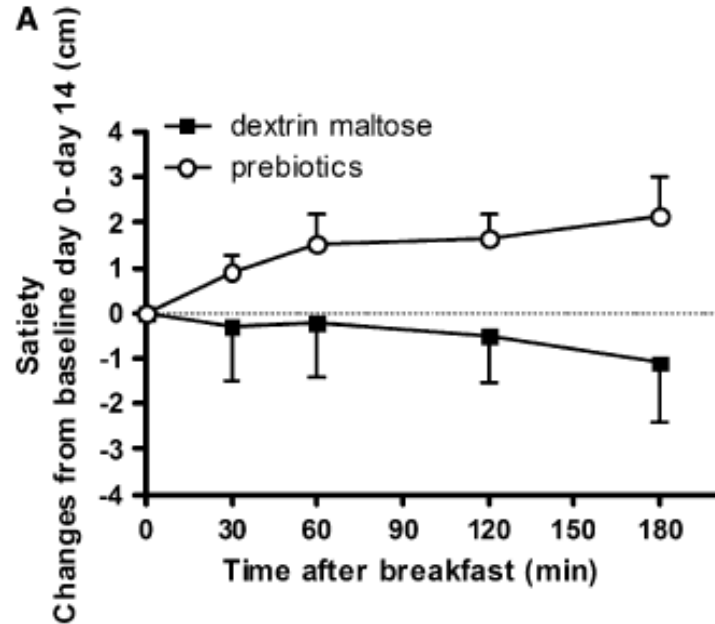
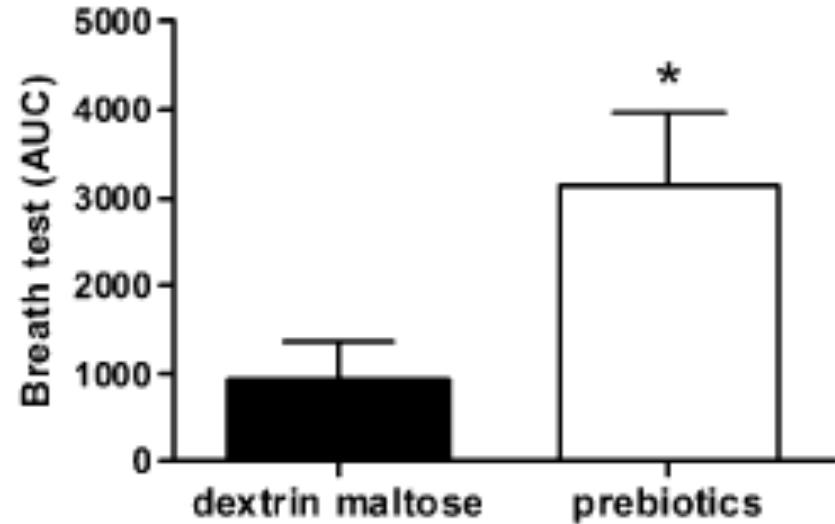
Whole Grain Group



◆ baseline ■ 12 week

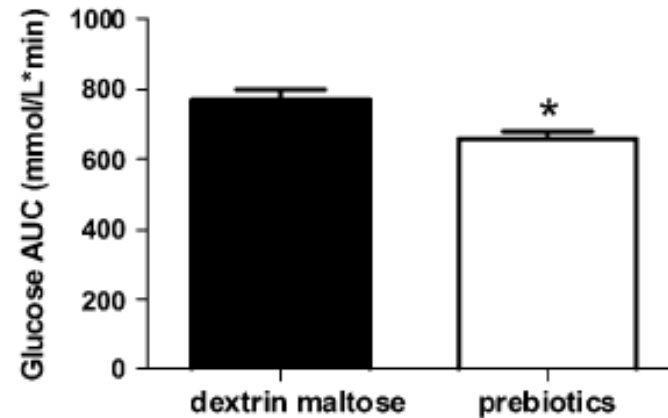
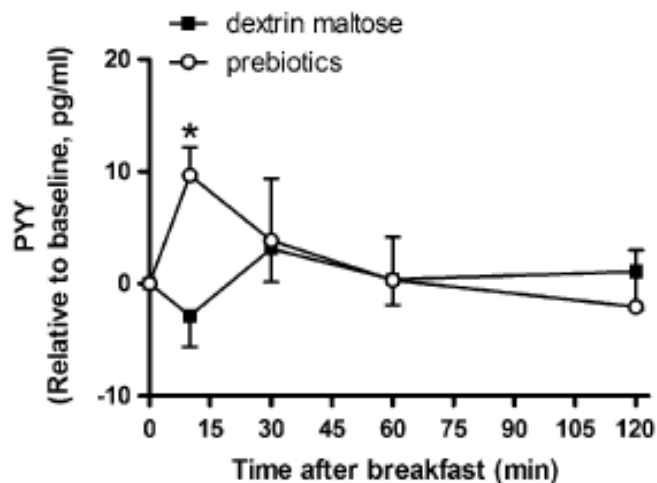
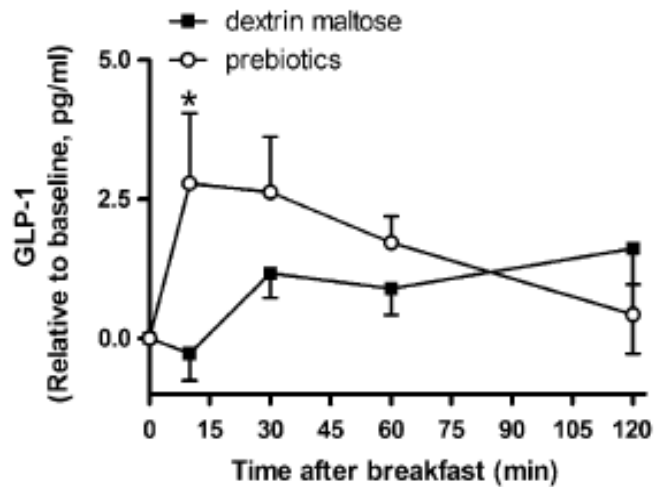


Oligofruztosio (16g/die) vs placebo (maltodestrine 16g/die) sulla fermentazione intestinale e sul senso di sazietà e fame





Effetto del consumo di prebiotici sulla risposta degli ormoni gastrointestinali e del glucosio in individui sani dopo 2 settimane d'intervento



Canj P et al, Am J Clin Nutr 2009



Possible mechanisms of action of dietary fiber and low glycemic index foods

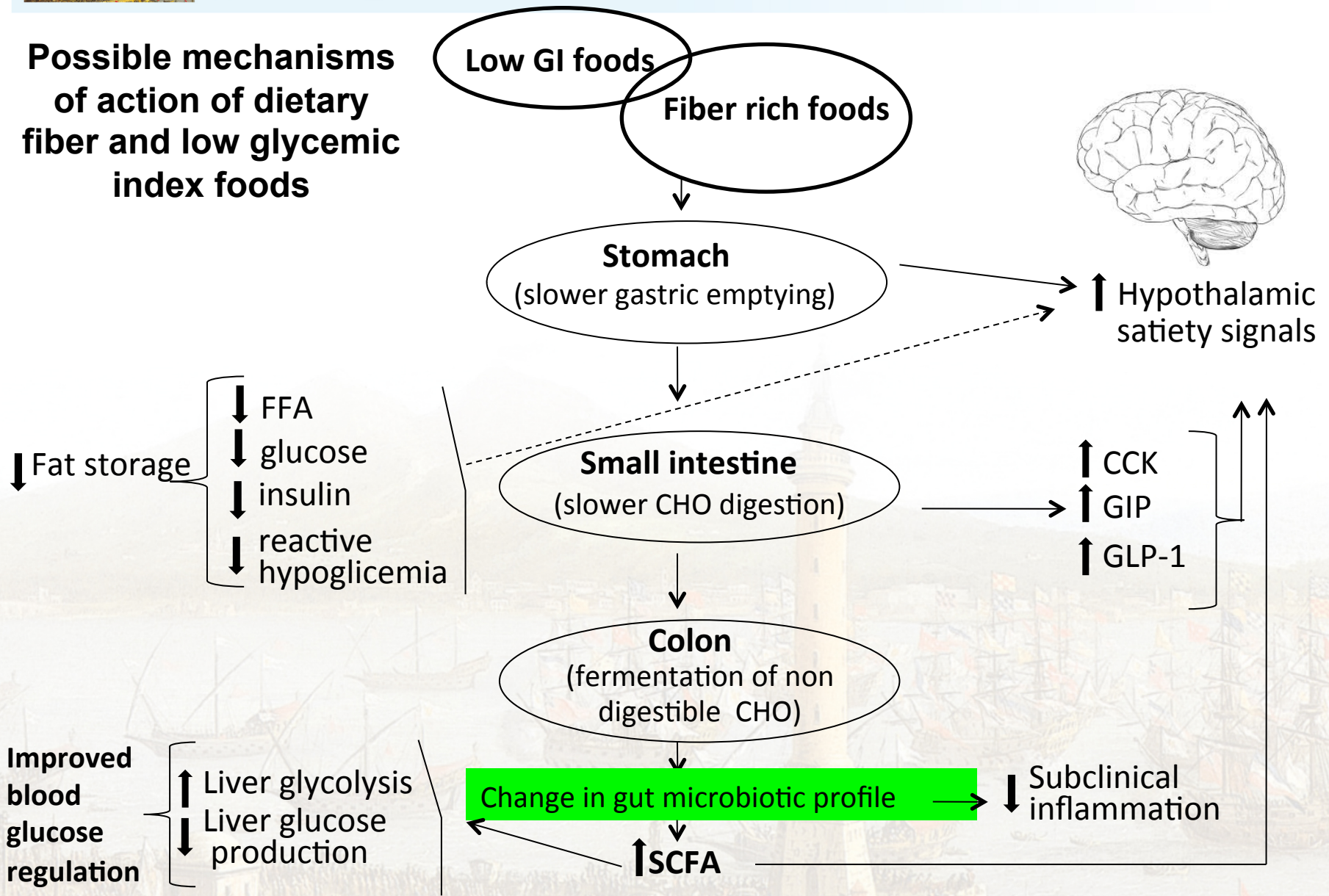


Figure 1



VI CONVEGNO NAZIONALE
CENTRO STUDI E RICERCHE - FONDAZIONE AMD
NAPOLI, 18-20 OTTOBRE 2012



CENTRO CONGRESSI
STAZIONE MARITTIMA

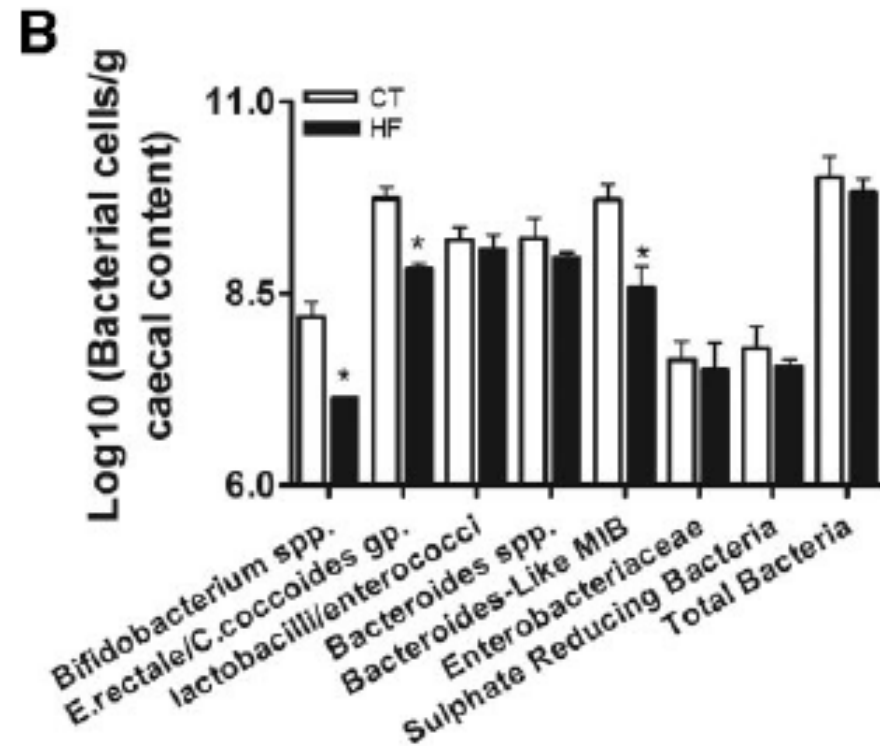
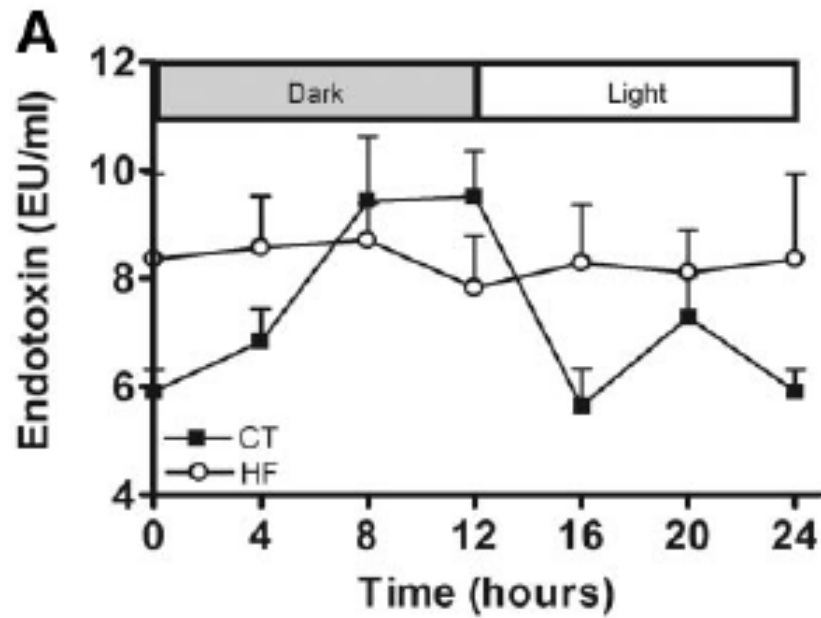


DIETA RICCA IN GRASSI E RISCHIO CARDIOVASCOLARE



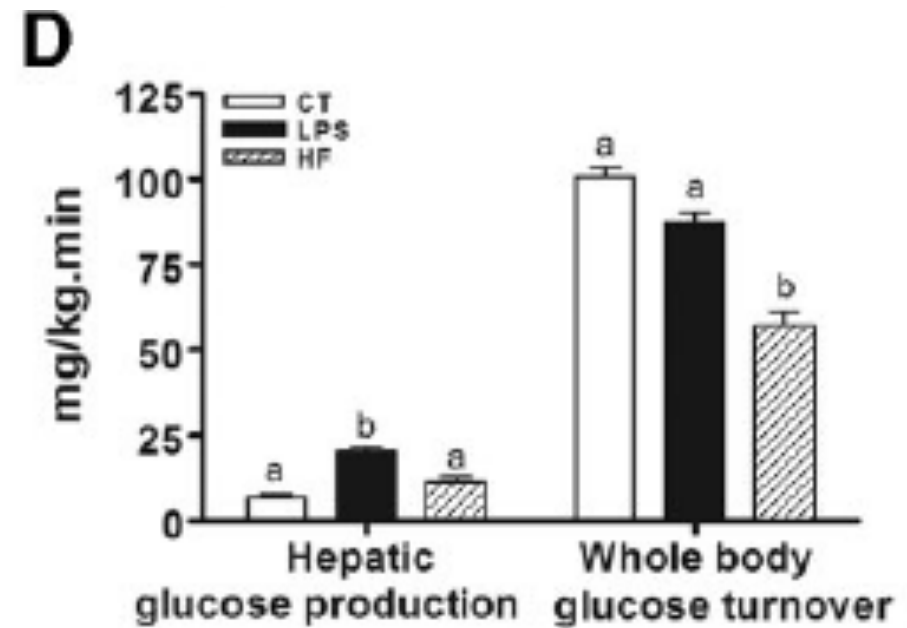
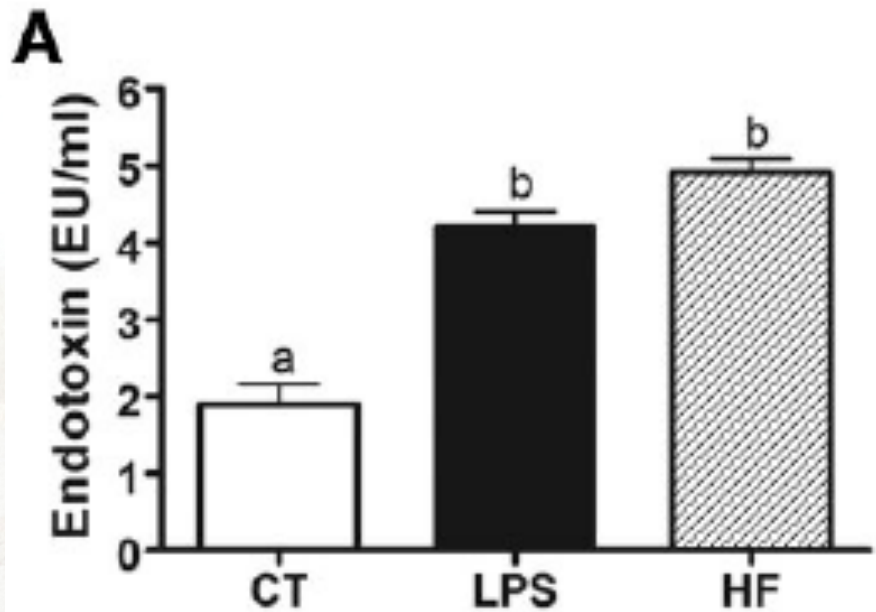


Effetto della dieta ricca in grassi sui livelli plasmatici di LPS e sul microbiota intestinale





Effetto della dieta ricca in grassi sulla sensibilità insulinica



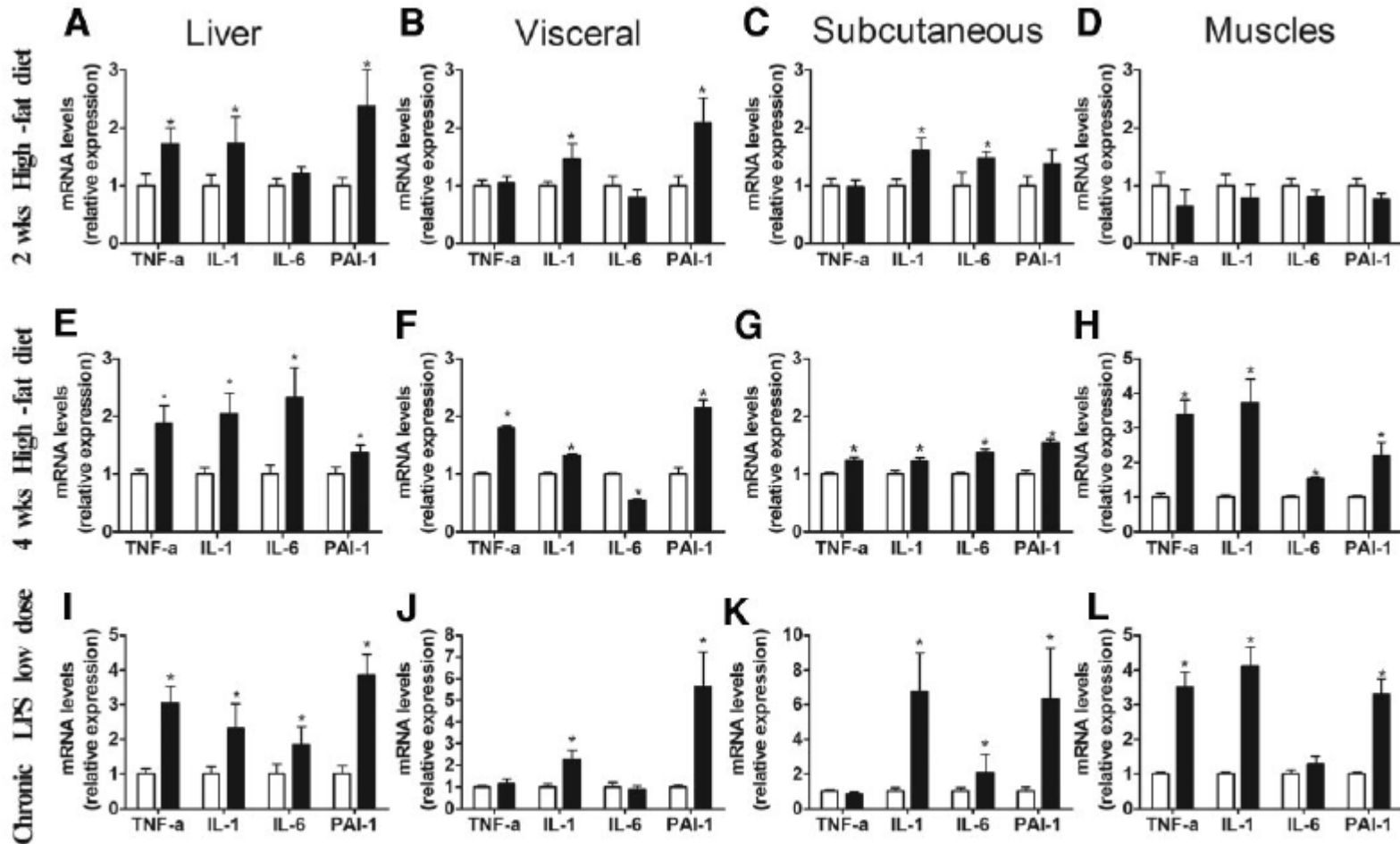


FIG. 3. Metabolic endotoxemia triggers the expression of inflammatory factors similarly to high-fat feeding. TNF- α , IL-1, IL-6, and PAI-1 mRNA concentrations (A, E, and I) in liver (B, F, and J), visceral adipose tissue (C, G, and K), subcutaneous adipose tissue (D, H, and L), and muscle in normal diet-fed ($n = 8$) (□) or high-fat diet-fed ($n = 8$) (■) mice for 2 weeks (A-D) and 4 weeks ($n = 8$) (E-H) and in LPS-infused mice ($n = 5$) (I-L). Data are means \pm SE. * $P < 0.05$ vs. normal chow-fed mice.



Livelli plasmatici d'insulina, endotossine (LPS) e molecole dell'infiammazione in soggetti diabetici tipo 2 (T2DM) e non diabetici (ND)

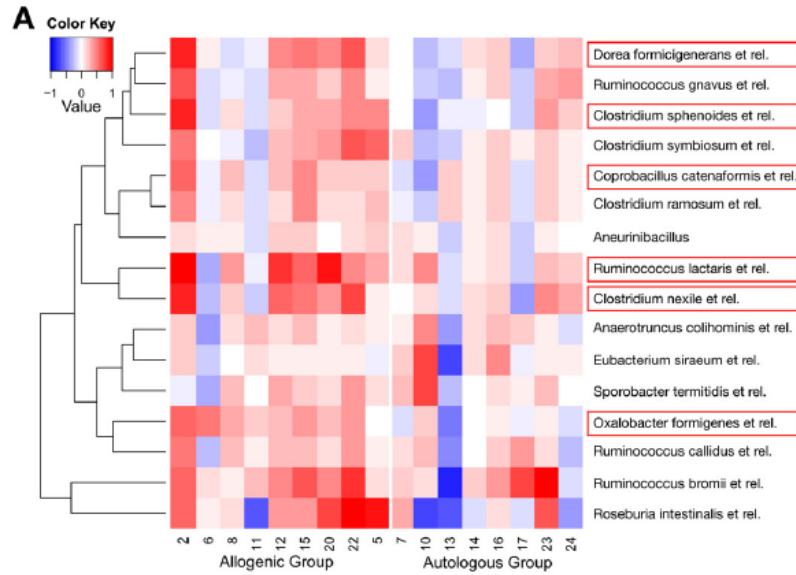
	T2DM (n = 25)	ND (n = 25)	P Value
BMI, kg/m ²	31.8±4.5	29.5±4.3	NS
Sex (M/F)	20:5	20:5	NS
Age, yr	52.2±11.7	48.1±19.2	NS
Glucose, mmol/l	8.6±2.5	5.6±0.9	<0.0001
Insulin, inv log IU/ml (geometric mean)	12.0 (1.8)	8.9 (1.9)	0.08
Endotoxin, inv log EU/ml (geometric mean)	5.5 (1.6)	3.1 (1.7)	<0.0001
TNF-α, pg/ml	16.8±7.0	6.61±4.3	0.00685
sCD14, million IU/ml	2.81±1.2	1.39±0.5	<0.0001
IL-6, pg/ml	4.95±2.7	4.24±2.0	NS
Leptin, pg/ml	24.2±21.1	28.2±22.5	NS

(M±SD or geometric means)

Creely SJ et al, *Am J Physiol Endocrinol Metab.* 2007



Mapa del Microbiota fecale



Mapa del Microbiota del piccolo intestino

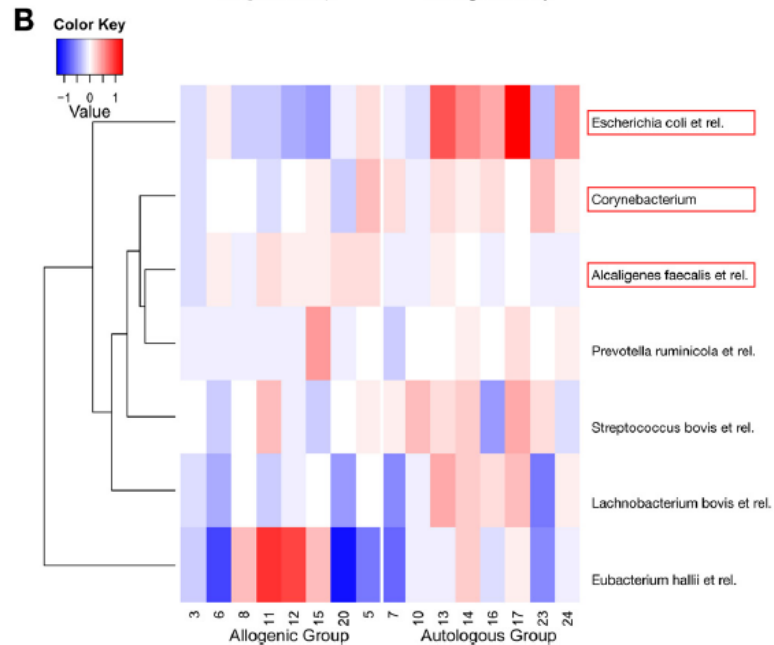
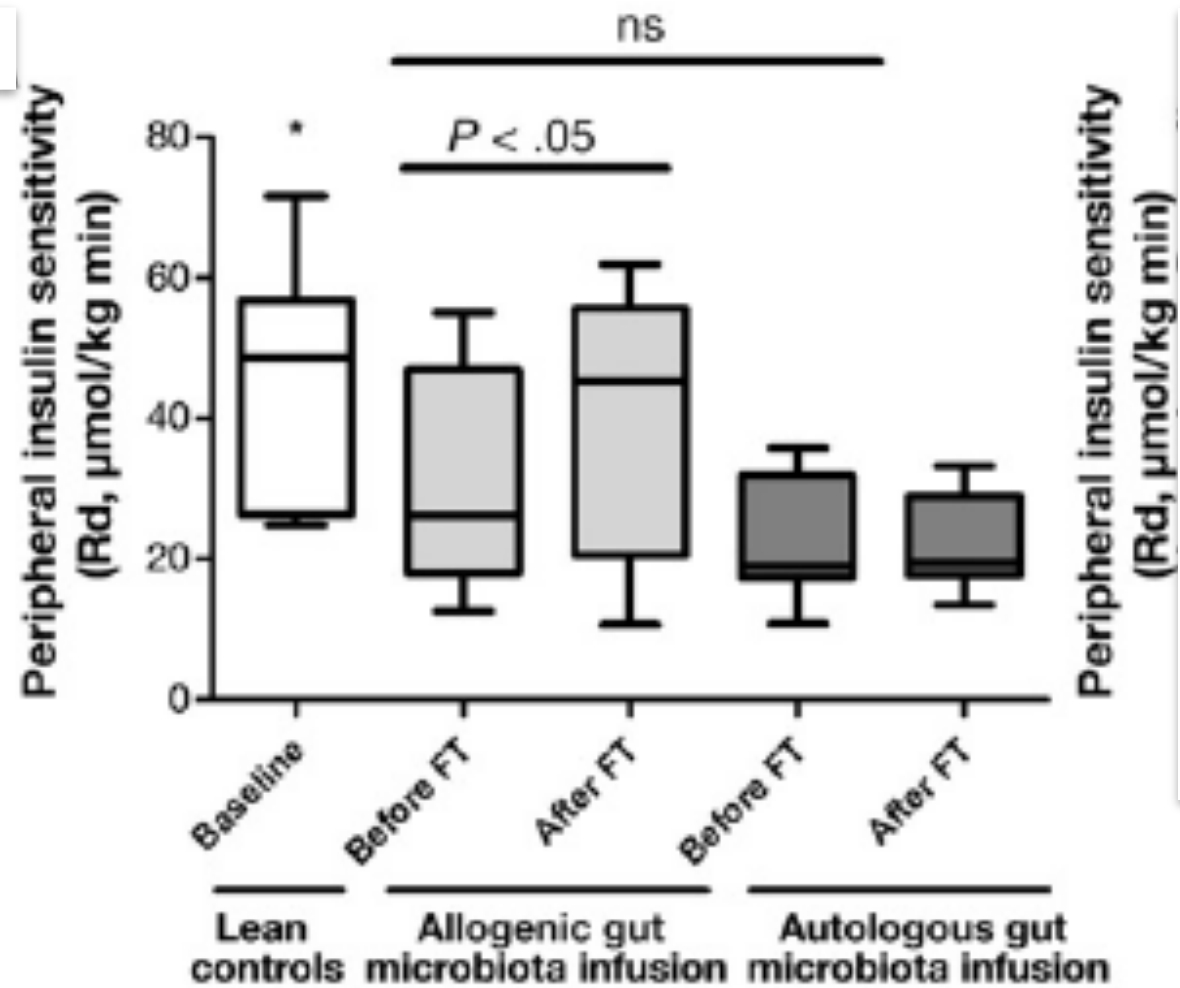


Figure 2. Heat maps of (A) fecal and (B) small intestinal gut microbiota with significant differences between both treatment groups depicted as a red box. The color value shows \log_{10} fold changes.



Transfer of Intestinal Microbiota From Lean Donors Increases Insulin Sensitivity in Individuals With Metabolic Syndrome





Conclusioni

- La composizione della dieta influenza il rapporto Firmicutes/Bacteroidetes che sembra avere un ruolo nello sviluppo dell'obesità e delle anomalie metaboliche ad esse associate.
- Gli effetti positivi della dieta ricca in fibre sui fattori di rischio cardiovascolare sono in parte mediati dalla flora batterica intestinale attraverso l'incremento della produzione degli SCFA e la modulazione degli ormoni gastrointestinali.
- Sono necessari ulteriori studi d'intervento che confermino la relazione causa effetto che lega la composizione della flora batterica intestinale alle anomalie metaboliche nell'uomo.



VI CONVEGNO NAZIONALE
CENTRO STUDI E RICERCHE - FONDAZIONE AMD
NAPOLI, 18-20 OTTOBRE 2012



CENTRO CONGRESSI
STAZIONE MARITTIMA



Grazie per l'attenzione!

